

鹿島大学工業短期大学部 正員 ○村上 伸士
函南工業高等専門学校 正員 畠田 嘉美男

1. まえがき： 2つの開口部をもつ港湾に長周期の波が侵入する場合、開口部の位置によって共振特性は変化することが予想される。ここでは、まず図-1に示すようないずれかの開口幅がその合計で半分になるとよる3種の長方形港湾について実施特徴的検討を行なう。さらに、開口部の位置によって防波堤による波のエネルギー遮蔽形態を異にすると考えられるので、著者らが従来から研究しておる外海が有破壊ともつ長方形港湾で得られた若干の実験値にもとづいて実施特徴を考察するとともに、今後検討すべき問題点を指摘した。

2. 理論解； 港内外の水深れは一定で、図-1に示すような座標系をとり、Ippen-Godaと同様の手法を用いて、港奥($0, -l$)における波高増幅率 R (入射波高の2倍に対する港奥の波高)を求めるところになる。

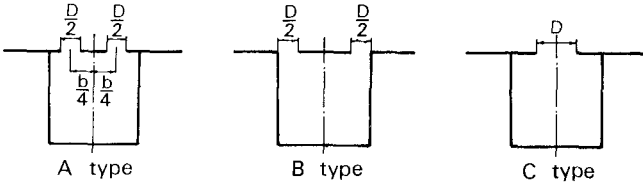


図-1 港湾モデル

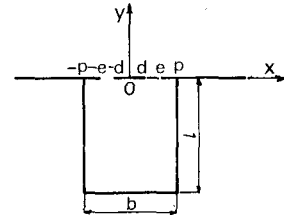


図-2 座標系

$$R = \frac{1 - S_1}{\sqrt{[\cos k\ell - (S_1 + \frac{p}{e-d} \psi'_c) \sin k\ell]^2 + (\frac{p}{e-d} \psi'_c \sin k\ell)^2}} \quad (1)$$

$$S_1 = \frac{8p^2}{\pi^2(e-d)^2} \sum_{n=1}^{\infty} \frac{[\sin(n\pi e/2p) - \sin(n\pi d/2p)]^2}{n^2 \beta_n \tanh \beta_n k\ell} \cos^2(n\pi/2) \quad (2), \quad S_2 = \frac{4p \sin k\ell}{\pi(e-d)} \times$$

$$\sum_{n=1}^{\infty} \frac{[\sin(n\pi e/2p) - \sin(n\pi d/2p)]}{n^2 \beta_n \tanh \beta_n k\ell} \cos^2(n\pi/2) \quad (3), \quad \psi'_c = \frac{e}{e-d} \psi_c(k\ell e) + \frac{d}{e-d} \psi_c(k\ell d),$$

$$- \frac{e+d}{e-d} \psi_c(k\ell \frac{e+d}{2}) + \psi_c(k\ell \frac{e-d}{2}), \quad i=1, 2 \quad (4), \quad \text{ただし, } \psi_c(k\ell x) = \frac{2}{\pi} \int_{0}^{k\ell x} \frac{\sin x^2}{d^2/(k\ell x)^2 - x^2} dx,$$

$$\psi_c(k\ell x) = \frac{2}{\pi} \int_{0}^{\infty} \frac{\sin x^2}{d^2/(k\ell x)^2 - x^2} dx \quad (5), \quad \beta_n = \sqrt{(n\pi/2+k\ell p)^2 - 1} \quad (6), \quad n \text{ は波数である。}$$

3. 開口部の位置の変化による共振特性； 図-3は、開口幅 D をもとより港湾幅 b を一定として、図-2の d を0から $p - D/2$ まで変化させたときの共振時のにおける波高増幅率 R_R の変化を実線で示している。 $d = 0$ の場合が図-1のC型に相当し、中央の一点鎖線の位置がA型、横軸の右端の通りB型に相当する。図中には、外海が有限(幅1m)の場合で得られた実験結果も○印で併記しているが、 R_R が最小となるのはA型であるといつてもよいことわかる。なほ、実験値は外海条件が理論の仮定とは異なっているが、実験値のように波のエネルギー損失がある場合もA型は R_R が最小となると考えてもよいであろう。以下では、A型、B型およびC型についてのみ考察を行う。

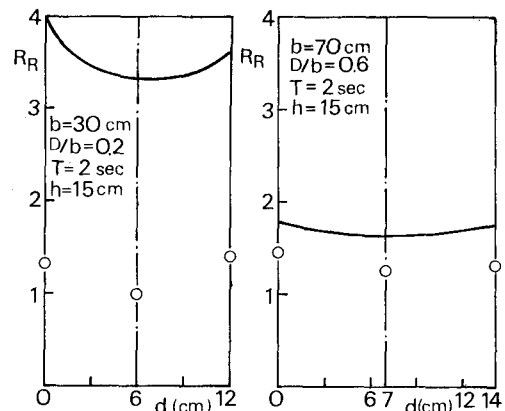
図-3 中央防波堤の長さ d と R_R との関係

図-4は、開口幅の変化による R_R の変化を示したもので、A型がいずれの R_R の値も小さくなるが、B型およびC型を比較すると港湾幅がある程度以下であればB型の方が R_R は小さく、港湾幅が大きくなるにつれて逆にC型

の方が波は小さくなるという現象が生ずる。もちろん、本解析ではエネルギー損失を考慮してこだわるため、harbor paradoxが成立してあり、理論的走査的傾向をそのまま実験現象に対応させることは多少無理がある。

図-5に、外海が有限幅(1m)とした場合の実験値を参考のために載せておいた。これらの図から、A型は他の場合に比べ、 R_R が最小となることがあるが、B型とC型の R_R に対する大小の比較は、図-4で示した傾向と必ずしも一致しない。

図-6は、各型について、実施点 l_r/L と開口比 D/b との関係を示したもので、 b/L が大きくなるほど l_r/L は小さくなり、その値はいずれも0.25よりもはるかに小さくなる。各場合についてみると、開口部を1つもつC型が最も小さく、A型およびB型に次ぐ l_r/L の0.4倍の大小は論じられないようである。はたゞ、外海が有限幅とした場合に得られた実験値も同様のことと言えることを付記しておく。

4. あとがき： ここでは、2つの開口部をもつ港湾の実験結果について考察したが、開口部の位置が共振特徴に大きく影響することを理論的に示すとともに、若干の実験的考察もつけ加えた。しかし、開口部の位置が変化するに伴って防波堤で失なわれる波のエネルギーの量が量でることは明らかであり、それと走査化すること、さらには、それらをどのように理論に入れるかが重要なことはいうまでもない。

最後に、本研究を行なったあたり、御助言と頂いた京都大学岩垣雄一教授、鹿島大学三井 勲教授、1次元造波水槽における実験結果を頂いた旭研下田和美氏(当時学生)、ヘルシンキ大学研究生周峰敏介氏はじめとする衛生研究所の諸氏に感謝の意を表すとともに、本研究は文部省科学研究費自然災害特別研究(代表者: 岩垣雄一教授)によより助成の一助であることを付記する。

参考文献

Ingen, A.T. and Y.Goda : Wave induced oscillations in harbors, Hydrodynamics Lab., MIT, Rep. No. 49, July, 1963.

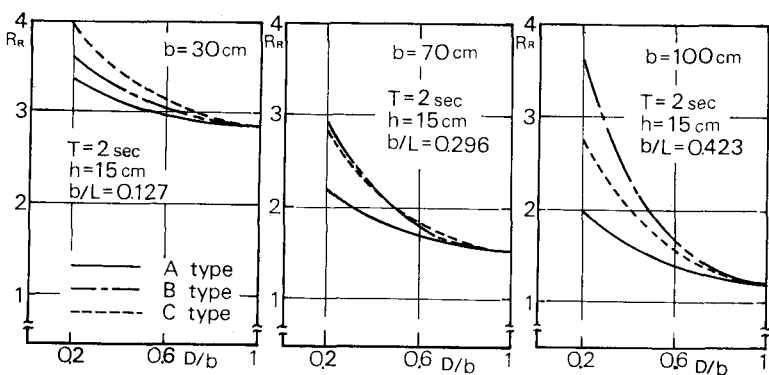


図-4 R_R と D/b の関係

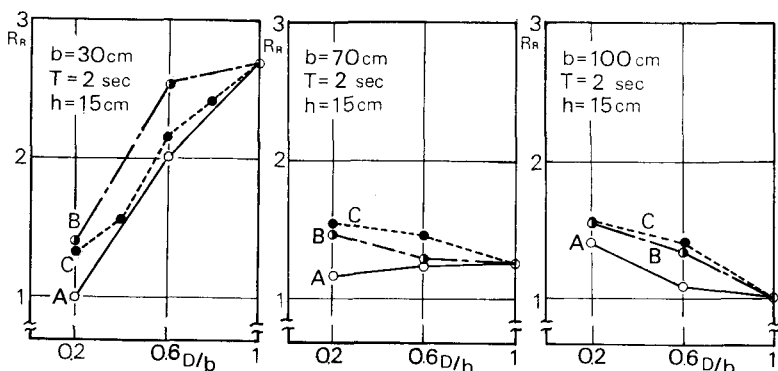


図-5 R_R と D/b の関係(外海が有限幅 $B=1m$ の場合)

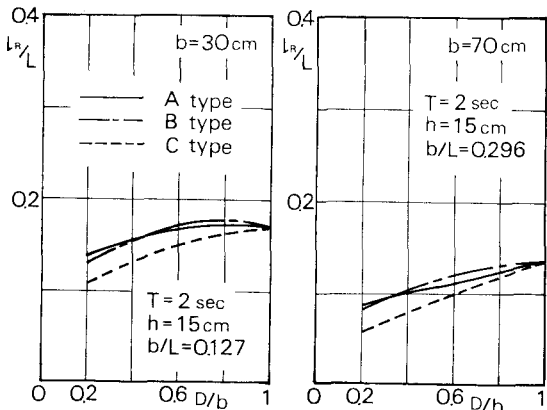


図-6 l_r/L と D/b の関係